

تحلیل کمی ژئومورفومتری کلوت‌های واقع در غرب بیابان لوت

سید حجت موسوی*— استادیار ژئومورفولوژی، گروه جغرافیا و اکوتوربیسم، دانشکده منابع طبیعی و علوم زمین، دانشگاه کاشان

پذیرش مقاله: ۱۳۹۳/۱۱/۲۵ تأیید نهایی: ۱۳۹۴/۰۶/۱۱

چکیده

کلوت‌های لوت یکی از شکفت‌انگیزترین عوارض ژئومورفیک هستند که حاصل عملکرد مشترک فرسایش کاوشی آب و باد غالب تک جهته می‌باشند. این عوارض در مناطق خشک و نیمه‌خشک به شکل پشتله‌های خطی طویل که توسط دالان‌های U شکل از یکدیگر جدا شده، به صورت موازی نمایان می‌شوند و دارای قله‌های گرد و هموار هستند. شناخت مؤلفه‌های ژئومورفومتری کلوت در تعریف شاخص‌های شکل‌شناسی آن از اهمیت قابل توجهی برخوردار بوده و روابط بین آنها می‌تواند به عنوان زیرساخت مدل‌سازی شاخص‌های مورفولوژی، طبیعی و ناهمواری مذکور قرار گیرد. هدف از این پژوهش تحلیل کمی ژئومورفومتری کلوت‌های لوت در قالب بررسی روابط و ارائه مدل‌های موجود بین پارامترهای قابل اندازه‌گیری کلوت‌ها و گروه‌بندی آنها با استفاده از روش‌های آنالیز رگرسیون، و تحلیل واریانس می‌باشد. بدین منظور ابتدا مهم‌ترین پارامترهای ژئومورفومتری ۱۰۸ کلوت به روش نمونه‌برداری طولی در امتداد سه ترانسکت مستقر شده بر روی مدل رقومی ارتفاع با اندازه پیکسل 30×30 متر مورداندازه‌گیری قرار گرفت. سپس با استفاده از تکنیک‌های آنالیز رگرسیون، تحلیل واریانس و آزمون‌های تعقیبی به بررسی روابط آماری بین پارامترها و گروه‌بندی آنها مبادرت گردید. نتایج آنالیز رگرسیون تک متغیره حاکی از وجود حداقل ارتباط معنی‌دار خطی طول و عرض با ضریب تبیین 0.415 ± 0.040 و ارتفاع و شبیه دامنه رویه‌باد برای روابط درجه ۲ و درجه ۳ به ترتیب با ضریب تبیین 0.386 ± 0.0395 می‌باشد. نتایج تحلیل رگرسیون چندگانه حاکی از حداقل ارتباط معنی‌دار ارتفاع با سایر پارامترها با ضریب تبیین 0.862 ± 0.080 و حداقل ارتباط معنی‌دار برای مدل‌سازی طول با ضریب تبیین 0.423 ± 0.042 می‌باشد. نتایج حاصل از تحلیل واریانس یک‌طرفه و آزمون تعقیبی توکی نشان می‌دهد که از نظر آماری تفاوت معنی‌داری در سطح احتمال خطای کمتر از 0.05 در مؤلفه ارتفاع بین کلوت‌های مطالعاتی وجود دارد. همچنین نتایج حاصل از همگنی زیرگروه‌های کلوت‌ها حاکی از طبقه‌بندی آنها به زیرگروه‌های متعدد است.

واژگان کلیدی: کلوت، لوت، مورفولوژی، ژئومورفومتری، آنالیز رگرسیون، تحلیل واریانس.

مقدمه

سایش و بادکندگی حالات معمول فرآیندهای فرسایشی باد در سیاراتی هستند که اتمسفر در آنها وجود دارد(گریلی و اینورسن^۱، ۱۹۸۵). فرسایش بادی می‌تواند سنگبستر را سایش داده و بخش‌های مختلف آن را از طریق فرسایش دیفرانسیل در سطح نمایان سازد. این فرآیندهای فرسایشی دفع مواد کمایش ثبت شده توسط باد که ناشی از فعالیت ماسه‌های روان می‌باشد را شامل می‌شود. لندفرم‌های فرسایشی حاصل از چنین فرآیندی در مناطقی که در آنها منابع عظیمی از ماسه، بادهایی با سرعت و فشار برشی کافی برای جابجایی ذرات و پوشش گیاهی قریب وجود دارد، فراوان هستند(زیبلمن و گریفین^۲، ۲۰۱۰).

کلوتها لندفرم‌های فرسایشی هستند که توسط فعالیت‌های کندوکاو مشترک فرایندهای آب و باد غالباً تک جهته شکل گرفته (علایی طالقانی، ۱۳۸۶: ۳۱۷؛ گودی^۳، ۲۰۰۷؛ احسانی و کویل^۴، ۲۰۰۸؛ ۳۲۸۴) و در واحدهای سنگ-شناسی مختلف در بیابان‌های متعددی جهان نمود عینی دارند(هالیمو و فیزیر^۵، ۱۹۸۹؛ گودی، ۱۹۹۹: ۶۷؛ گودی و همکاران، ۱۹۹۹: ۶۷؛ بروکر^۶، ۲۰۰۱؛ ۱۸۹؛ ۲۰۰۱؛ الدوثاری^۷، ۹۳).

این عوارض معمولاً به شکل بدنه کشته وارونه تشییه شده و به صورت یک پشته یا یال فرسایشی با فرم خطی بسیار ساده توصیف می‌شود(وارد و گریلی^۸، ۱۹۸۴؛ ۸۲۹) که در اکثر موارد ممکن است دارای قله‌ای هموار و مسطح باشد (زیبلمن و گریفین، ۲۰۱۰؛ ۱۹۹). دامنه رو به باد کلوتها معمولاً به لبه‌ای پهن و پرشیب ختم شده و عموماً مرتفع‌ترین بخش عارضه را شامل می‌شود، درحالی که دامنه بادپناه به نقطه‌ای با حداقل ارتفاع و باریک پایان می‌یابد. با این وجود کلوتها را می‌توان در طیف گسترده‌ای از اشکال مشاهده نمود(ویتنی^۹، ۱۹۸۳؛ ۲۳؛ هالیمو و فیزیر، ۱۹۸۹: ۲۰۵). کلوتها را بر اساس شکل می‌توان به صورت میکرو (یک متر)، مزو (صد متر) و مایکرو (هزار متر) طبقه‌بندی نمود (احمدی، ۱۳۸۷: ۲۶۷). کلوتها در اغلب موارد به صورت میدان‌های گسترده نیز مشاهده شده و معمولاً به شکل صفحه‌ای تنگ و منظم که با دلالان‌های U شکل یا ناووهای کف پهن از یکدیگر جدا شده، یا به صورت فضای گسترده‌ای از عوارض خطی در دشت‌های بریده شده توسط آب و باد نمایان می‌شوند. بسیاری از میدان‌های کلوتها در مناطقی که در آن بادهای شدید تک جهته در بیشتر ایام سال اتفاق می‌افتد توسعه می‌یابند(مک کولی و همکاران^{۱۰}، ۱۹۷۷؛ هایز، ۱۹۷۷؛ اما برخی دیگر، نظری آن‌هایی که در کویر لوت وجود دارند، در مناطقی با بادهای مخالف فصلی توسعه می‌یابند که در این مناطق به نظر می‌رسد یک جهت باد، معمولاً غالب است و بادهای مخالف شدت و فراوانی کمتری دارند(زیبلمن و گریفین، ۲۰۱۰؛ ۱۹۹). با این حال، کلوتها در آبووهای خشک توسعه می‌یابند، اما میدان‌های کلوتها نیز شناسایی شده که در آبووهای نیمه‌خشک نمایان شده‌اند(الورزا و همکاران^{۱۱}، ۲۰۰۲؛ ۱۵۵). نتایج پژوهش‌های متعدد نشان داده است که وجود کلوتها به حداقل خاک و پوشش گیاهی، بادهای تک جهته متداول و نواحی با کمیود ماسه نیاز دارد(مک کولی و همکاران، ۱۹۷۷؛ ۱۹۸۳؛ ۳۳؛ ویتنی^{۱۲}، ۱۹۹۴؛ ۳۳؛ لایتی^{۱۳}، ۱۹۹۴؛ ۵۰۶؛ گودی و همکاران، ۹۷؛ ۱۹۹۹).

اشکال ناشی از فرسایش بادکندگی در مناطق خشک و نیمه‌خشک دنیا از قبیل ایران، ایالات متحده، چاد، مصر و پرو در سطح وسیعی مشاهده می‌شود (احمدی، ۱۳۸۷؛ ۱۵۱؛ گودی، ۲۰۰۷؛ ۶۵). نمونه منحصر به فرد این عوارض به صورت

1 . Greeley and Iversen

2 . Zimbelman and Griffin

3 . Goudie

4 . Ehsani and Quiel

5 . Halimov and Fezler

6 . Brookes

7 . Al-Dousari

8 . Ward and Greeley

9 . Whitney

10 . McCauley et al

11 . Elorza et al

12 . Laity

پشته‌ها و دلان‌های موازی در جنوب شرق ایران سطح وسیعی از چاله لوت با ابعادی معادل ۱۵۰ در ۷۰ کیلومتر را پوشانیده است (احمدی، ۱۳۸۷: ۲۶۸)، بطوریکه ۴ درصد کل بیابان لوت را شامل شده و جنس مواد آن از نظر چینه‌شناسی در ردیف پلیوسن فوکانی و کواترنری تحتانی قرار می‌گیرد (کرینسلی، ۱۳۸۸: ۱۶۶). کلوت‌های لوت با متوسط ارتفاع ۶۰ تا ۸۰ متری و قله‌های گرد و هموار به صورت پشته‌هایی در سطح بسیار وسیع گسترش یافته و توسط دلان‌هایی با عرض بیشتر از ۱۰۰ متر از یکدیگر جدا شده‌اند (مک کولی و همکاران^۱، ۱۹۹۷: ۳۳)، که جهت آنها منطبق بر جهت بادهای ۱۲۰ روزه سیستان بوده و ۳۳۳ درجه واقعی را نشان می‌دهد (کرینسلی، ۱۳۸۸: ۱۶۹). یک لایه رسی- گچی با خامت ۱۰ تا ۱۵ سانتی‌متر سطح کلوت‌های لوت را پوشانیده که مانع از رشد بیشتر گالی‌ها در دامنه پوشیدگی این عوارض شده است (محمودی، ۱۳۶۷: ۹). این قشر گلی یادگاری از دوره‌های مرطوب گذشته بوده و وجود آن نشان‌دهنده عدم فعالیت فرایندهای فرسایشی آب بر سطح کلوت‌ها در حال حاضر است (علایی طالقانی، ۱۳۸۶: ۳۱۵).

در زمینه شناخت ژئومورفومتری کلوت‌ها، به عنوان یکی از ژئوسیستمهای مهم سطح زمین در مناطق خشک و نیمه‌خشک، پژوهش‌های اندکی وجود دارد (مک کولی و همکاران، ۱۹۹۷: ۳۰). در سال‌های اخیر با پیشرفت علم و تکنولوژی، استفاده از داده‌های هوابرد نظیر عکس‌های هوایی و تصاویر ماهواره‌ای برای مطالعه کلوت‌ها هم در زمین و هم در سیاره مربیخ پیشرفت‌های قابل توجهی را در دانش بشری سبب شده است (وارد، ۱۹۷۹: ۸۱۴۷؛ هالیمو و فیزیر^۲، ۱۹۸۹: ۲۰۵؛ مالین و همکاران^۳، ۱۹۹۸: ۱۶۸۱؛ بریجز و همکاران^۴، ۲۰۰۷؛ زیمنبلمن و گریفین^۵، ۲۰۱۰) در سطوح بعدی نیز تجزیه و تحلیل‌های حاصله توسط تجربیات آزمایشگاهی، مشاهدات میدانی و مفاهیم نظری کامل‌تر شده‌اند (وارد و گریلی^۶، ۱۹۸۴: ۸۲۹؛ ویتنی، ۱۹۸۳: ۲۳)، به گونه‌ای که مک‌کایولی^۷ و همکاران (۱۹۷۷: ۳۳) یک نقشه جهانی از موقعیت کلوت‌های بزرگ در سراسر جهان ارائه نموده که توسط گریلی و ایورسن^۸ (۱۹۸۵)، گودی^۹ (۲۰۰۷) و احسانی (۱۳۸۹: ۶۶) نیز گزارش شده است. گوتیریز- الوزا^{۱۰} و همکاران (۲۰۰۲: ۱۵۵) وجود کلوت‌های مناطق نیمه- مرطوب بخش‌های مرکزی چاله ابرو در اسپانیا را موردمطالعه قرارداده و تولید کلوت‌ها در این منطقه را مرتبط با پالایا که به عنوان منشأ ذرات بادکندگی در طول دوره‌های خشک محسوب می‌شود، بیان می‌دارند. احسانی و کوئیل^{۱۱} (۲۰۰۸: ۳۲۸۴) با استفاده از نقشه‌های خودسازمانی و داده‌های SRTM به بررسی خصوصیات کلوت‌های دشت لوت پرداخته و دو رخساره کلوت و دلان به ترتیب با ۳۱ و ۴۲ درصد مساحت منطقه را شناسایی نموده که با جهت شمال غربی- جنوب شرقی با جهت بادهای ۱۲۰ روزه منطبق می‌باشد. ال-دوسری^{۱۲} و همکاران (۹۳: ۲۰۰۹) منشأ ویژگی‌های کلوت‌های منطقه یوم ال-ریمان در کشور کویت را موردنبررسی قرارداده و بیان داشتند که بررسی‌های میدانی بیانگر فرسایش بیشتر دامنه‌های کلوت در مقابل بخش میانی آن می‌باشد. شکل کلوت‌های این منطقه با توجه به نرخ فرسایشی سالیانه و اندازه آنها توسط فرایندهای پائووهیدرولوژی ایجاد شده و به وسیله فعالیت باد تغییر یافته است. علوی‌پناه (۱۳۸۱: ۶۷) دمای پدیده‌های سطحی حاشیه کلوت‌های بیابان لوت را با استفاده از مطالعات میدانی و داده‌های حرارتی ماهواره‌ای بررسی نموده و بیان داشت که تغییرات تشعشعات حرارتی کلوت‌های لوت نمایانگر روند افزایشی از غرب به شرق و از شمال-

^۱. McCauley et al

^۲. Halimov and Fezer

^۳. Malin et al

^۴. Bridges et al

^۵. Zimbelman and Griffin

^۶. Ward and Greeley

^۷. McCauley

^۸. Greeley and Iversen

^۹. Goudie

^{۱۰}. Gutierrez-Elorza

^{۱۱}. Ehsani and Quiel

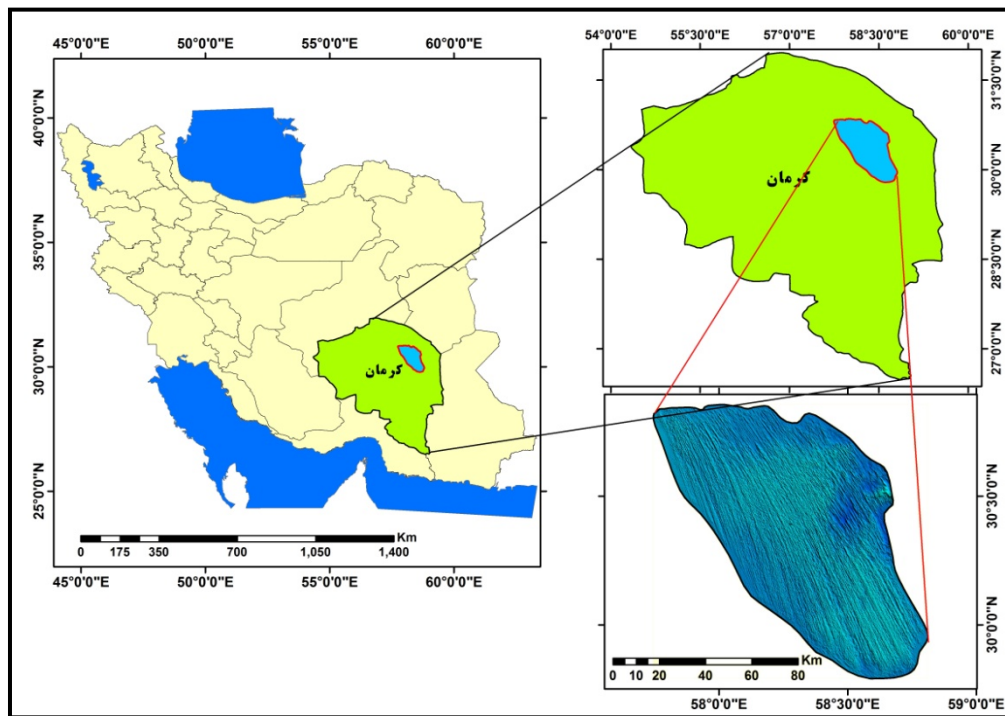
^{۱۲}. Al-Dousari

غرب به جنوب‌شرق می‌باشد. مشهدی و همکاران (۱۳۸۱: ۲۵) با استفاده از تصاویر ماهواره‌ای لندست و عکس‌های هوایی ۱:۵۰۰۰۰ و ۱:۲۰۰۰۰ به بررسی ژئومورفولوژیکی کلوت‌های لوت پرداخته و این عوارض را به دو لندفرم مجزا یعنی پشتله و راهرو تقسیم نموده و آنها را حاصل فعالیت مشترک آب و باد معروفی کردند. علوی‌بناه و همکاران (۱۳۸۳: ۲۱) به مطالعه رخساره‌های ژئومورفولوژی کلوت‌های لوت بر اساس تفسیر واحدهای فتومورفیک تصاویر ماهواره‌ای سنجنده TM لندست پرداخته و ۱۴ رخساره مختلف در این منطقه شناسایی نمودند که ۵ رخساره آن مربوط به کلوت می‌باشد. احسانی (۱۳۸۹: ۶۳) کلوت‌های لوت را از طریق آنالیز مورفومتری و استخراج پارامترهای شبیه، منحنی مقطع ارضی و منحنی حداکثر و حداقل با کمک معادلات درجه دوم دو متغیری پهن‌بندی نمود و بیان داشت که کلوت‌ها، راهروها و دیگر اراضی با شبیه مختلف به ترتیب ۳۴، ۳۳ و ۲۳ درصد مساحت منطقه را شامل می‌شوند.

ژئومورفولوژی مدرن در صدد مطالعات کمی مبتنی بر اندازه‌گیری خصوصیات شکل‌شناسی عوارض ژئومورفیک بوده و تحلیل‌هایی برای مشخصه‌های ژئومورفومتری آنها ارائه نموده است. مطالعات شکل‌شناسی متعددی بر روی کلوت‌ها صورت گرفته، اما ارزیابی‌ها در مورد مدل سازی آماری کلوت‌ها و بررسی رفتار این ناهمواری به صورت کمی ناچیز می‌باشد. از این‌رو، پژوهش حاضر با تکیه‌بر روش‌های اندازه‌گیری رقومی به بررسی روابط موجود بین پارامترهای ژئومورفومتری کلوت‌های چاله لوت پرداخته و هدف از آن ارائه مدل‌های مناسب جهت دستیابی به پارامترهای مورفومتری و روابط بین آنها با استفاده از مؤلفه‌های تک‌بعدی ژئوفرم کلوت می‌باشد. فرضیات مطرح شده مقایسه ارتباطات بین مؤلفه‌های ژئومورفومتری کلوت بوده، زیرا تعیین مشخصات قابل‌اندازه‌گیری کلوت در تعریف شاخص‌های شکل‌شناسی آن از اهمیت قابل‌توجهی برخوردار است. به عبارت دیگر مؤلفه‌های ژئومورفومتری کلوت و روابط بین آنها می‌تواند به عنوان زیرساخت مدل سازی شاخص‌های شکل‌شناسی مختلف مانند شاخص‌های طبیعی، ناهمواری و شاخص شکل مذکور قرار گیرد، بطوريکه با شناخت این ویژگی‌ها می‌توان به کمیتی از اندازه، میزان خمیدگی، میزان کشیدگی، میزان ناهمواری طبیعی و سایر شاخص‌های مورفولوژی کلوت‌ها دست‌یافتد و نحوه توجیه فرم و فرآیند را در مسیر تکامل و تعادل آن مذکور قرارداد.

منطقه مطالعاتی

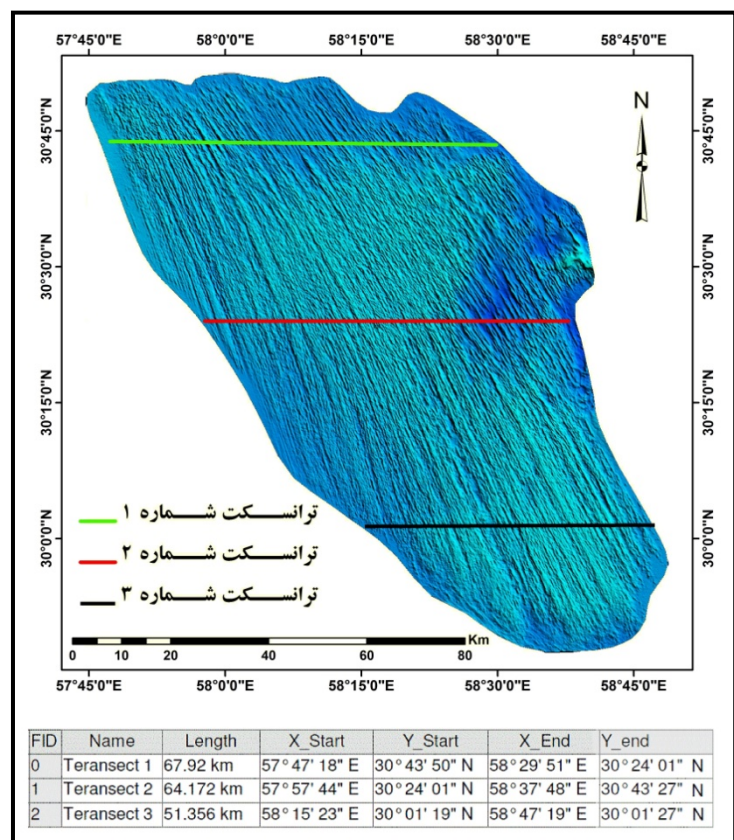
منطقه موردمطالعه در این پژوهش، میدان کلوتی چاله لوت می‌باشد که در جنوب شرق ایران و غرب کویر لوت واقع شده است. دشت لوت با وسعت ۵۴ هزار کیلومترمربع، یکی از گرمترین و خشکترین بیابان‌های ایران و بلکه جهان است (علایی طالقانی، ۱۳۸۸: ۳۰۱). کلوت‌های لوت با مساحت ۶۴۸۱۵۹/۵ هکتار (۶۴۸۱۱/۵۹۵ کیلومترمربع) در بخش غربی چاله لوت، در محدوده‌ای به طول ۵۷ درجه و ۳۰ دقیقه تا ۵۹ درجه شرقی و عرض ۲۹ درجه و ۳۰ دقیقه تا ۳۱ درجه شمالی گستردگی شده است (شکل ۱). شبی کلی منطقه بین صفر تا ۱۸/۵۶ درجه متغیر است که ۹۹ درصد دارای شبی زیر ۱۰ درجه، ۵۰ درصد دارای شبی کمتر از ۲/۳۳ درجه، ۱۵ درصد دارای شبی بین صفر تا یک و یک درصد هم دارای شبی صفر درجه می‌باشد. پایین‌ترین ارتفاع از سطح دریا در کلوت‌های لوت بین ۱۰۰ تا ۲۰۰ متر بوده و مربوط به بریدگی‌های قسمت شرقی می‌باشد. بلندترین ارتفاع از سطح دریا ۴۰۴ است که به ۳ پشتله‌ای در نزدیکی چاله شرقی تعلق دارد. ۵۶/۵۳ درصد منطقه (معادل ۳۶۶۴۲۷ هکتار) دارای کلوت‌هایی با ارتفاع بین ۳۰۰ تا ۴۰۴ متر بوده که عمدتاً در بخش‌های مرکزی و جنوبی قرار دارند. میانگین سالانه سرعت وزش باد منطقه ۶ متر بر ثانیه بوده و قوی‌ترین باد (بادهای ۱۲۰ روزه) از اردیبهشت‌ماه با میانگین سرعت ۹/۳۵ متر بر ثانیه شروع به وزش می‌کند (احسانی، ۱۳۸۹: ۷۰).



شکل ۱: موقعیت جغرافیایی منطقه مطالعاتی

مواد و روش‌ها

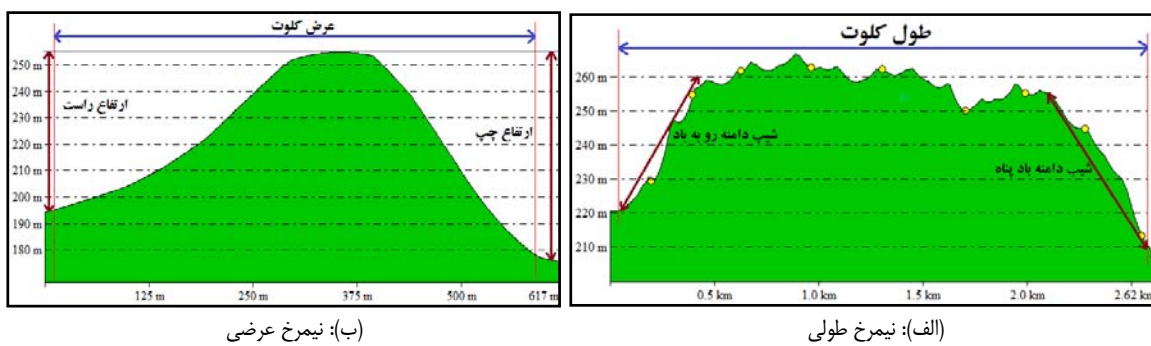
ابتدا به کمک تصاویر ماهواره‌ای لندست ۷ و مدل ارتفاعی رقومی منطقه، محدوده‌ی مطالعاتی مورد بررسی قرار گرفت و تعیین حدود گردید. سپس مبادرت به نمونه‌برداری و اندازه‌گیری مؤلفه‌های مورفومتری کلوت‌ها شد. روش نمونه‌برداری در این پژوهش بر اساس روش تک بعدی و واحد نمونه‌برداری طولی صورت گرفته است. بدین گونه که در ابتدا ۳ ترانسکت در قلمرو گسترش کلوت‌های لوت بر روی مدل ارتفاع رقومی آن با اندازه سلول 30×30 متر، در محیط نرم‌افزار Global Mapper ترسیم گردید و بر اساس شکل (۲) تنها کلوت‌هایی که با ترانسکت‌های مذبور برخورد کرده‌اند، مورد اندازه‌گیری و ارزیابی قرار گرفتند. حجم نمونه مطالعاتی به موقعیت کلوت‌ها نسبت به محل استقرار ترانسکت بستگی دارد که در مجموع ۱۰۸ کلوت مورد مطالعه قرار گرفت. به عبارت دیگر ۱۰۸ کلوت با ۳ ترانسکت مذبور برخورد کرده که از این تعداد ۳۲ عدد مربوط به ترانسکت شماره یک (شمالی)، ۴۷ عدد مربوط به ترانسکت شماره دو (مرکزی) و ۲۹ عدد مربوط به ترانسکت شماره سه (جنوبی) می‌باشد (شکل ۲).



شکل ۲: موقعیت ترانسکت‌ها و کلوت‌های نمونه‌گیری شده در محدوده‌ی مطالعاتی

به منظور ارزیابی و مدل‌سازی آماری کلوت‌ها، اندازه‌گیری مؤلفه‌های مورفومتری آنها از طریق ترسیم نیمرخ طولی منطبق بر خط‌الراس و نیمرخ عرضی منطبق بر مرتفع‌ترین قله کلوت بر روی مدل ارتفاعی رقومی در محیط نرم‌افزار Global Mapper گرفت. بدین‌صورت که در امتداد نیمرخ طولی مشخصه‌های طول (L)، شب دامنه روبه‌باد (Sa)، شب دامنه بادپناه (Sb) و در امتداد نیمرخ عرضی ارتفاع سمت راست (Ha)، ارتفاع سمت چپ (Hb) و عرض کلوت (W) اندازه‌گیری گردید (شکل ۳). پارامتر ارتفاع متوسط کلوت (H) نیز از طریق میانگین ارتفاع دامنه سمت راست و ارتفاع دامنه سمت چپ محاسبه شد (رابطه ۱):

$$H = (Ha + Hb) / 2 \quad \text{رابطه (۱) محاسبه ارتفاع متوسط کلوت:}$$



شکل ۳: توضیح تصویری مؤلفه‌های مورفومتری کلوت و نحوه اندازه‌گیری آنها

به کمک موارد فوق‌الذکر پارامترهای مورفومتری ۱۰۸ کلوت مطالعاتی محاسبه گردید و ماتریس داده‌ها جهت مدل‌سازی و ارزیابی مقایسه‌ای کلوت‌ها تهیه شد. در میدان کلوتی چاله لوت، کلوت‌های متعددی می‌توان مشاهده نمود که اندازه و اشکال متنوعی دارند، بطوريکه کلوت‌های ارتفاعی بین ۱۲۶/۴۶ تا ۱۲۹/۳۶ متر، طولی بین ۵۲۲/۸۲ تا ۱۲۹۹۳/۳۳ متر و عرضی بین ۲۵۲/۲۹ تا ۱۲۱۰/۵۹ متر هستند (جدول ۱).

جدول ۱: آمار توصیفی پارامترهای مورفومتری کلوت‌های مطالعاتی

مؤلفه	تعداد	میانگین	انحراف معیار	خطای استاندارد	حداقل	حداکثر	دامنه	چولگی
ارتفاع (m)	۳۲	۴۴/۲۱	۲۳/۷۷	۴/۲۰۳	۱۷/۳۲	۱۲۹/۴۶	۱۱۲/۱۴	۱/۵۹
	۴۷	۳۸/۲۵	۱۵/۰۹	۲/۲۰۱	۱۶/۶۴	۷۷/۴۱	۶۰/۷۸	۱/۰۴۹
	۲۹	۳۴/۱۸	۱۰/۵۳	۱/۹۶	۱۲/۶۷	۵۹/۹۲	۴۷/۲۵	۰/۱۸۵
کل	۱۰۸	۳۸/۹۲	۱۷/۴۷	۱/۶۸	۱۲/۶۷	۱۲۹/۴۶	۱۱۶/۷۹	۱/۷۸۴
عرض (m)	۳۲	۶۲۸/۲۷	۲۶۳/۲۵	۴۶/۰۴	۲۵۶/۰۸	۱۲۱۰/۵۹	۹۵۴/۵۱	۰/۴۷۷
	۴۷	۴۷۹/۷	۱۳۷/۰۵	۱۹/۹۹	۲۵۲/۲۹	۷۱۸/۷۵	۵۶۵/۴۶	۰/۵۲۱
	۲۹	۴۵۴/۱۸	۱۳۳/۸۱	۲۴/۸۵	۲۶۵/۵۵	۷۱۳/۹۵	۴۴۸/۴	۰/۵۲۷
کل	۱۰۸	۵۱۶/۸۷	۱۹۵/۵۱	۱۸/۸۱	۲۵۲/۲۹	۱۲۱۰/۵۹	۹۵۸/۳۰	۱/۱۵۶
طول (m)	۳۲	۴۱۷۸/۳	۲۸۴۴/۳۲	۵۰۲/۸۱	۷۲۵/۷۶	۱۲۹۹۳/۳۳	۱/۲۳۴	۱/۳۲۴
	۴۷	۲۴۷۷/۳	۱۴۷۳/۳۱	۲۱۴/۹	۵۲۲/۸۲	۸۱۴۱/۰۵	۷۶۱۸/۲۲	۱/۶۶۴
	۲۹	۱۷۲۱/۳	۱۲۲۷/۶۳	۲۲۷/۹۶	۴۵۴/۲۶	۶۴۵۰/۱۹	۵۹۰۴/۹۳	۱/۶۰۹
کل	۱۰۸	۲۸۸۱/۲	۲۰۹۹/۹۳	۲۰۲/۰۶	۵۲۲/۸۲	۱۲۹۹۳/۳۳	۱/۲۵۴	۲/۰۶۴
شیب رو به باد (%)	۳۲	۱۶/۴۷	۱۰/۴۸	۱/۸۵	۴/۳۵	۶۰/۸۵	۵۶/۵	۲/۶۲۸
	۴۷	۱۷/۷۷	۵/۵۴	...	۷/۳	۳۰/۵۸	۲۳/۲۸	۰/۲۵۶
	۲۹	۱۷/۲۱	۶/۷۱	۱/۲۵	۳/۸۹	۳۷/۲۸	۳۳/۴	۱/۱۲۹
کل	۱۰۸	۱۷/۲۴	۷/۵۶	...	۳/۸۹	۶۰/۸۵	۵/۶۹۶۴	۲/۰۵۳
شیب باد پناه (%)	۳۲	۱۴/۸۲	۹/۵۹	۱/۶۹	۳/۷۴	۵۱/۸۱	۴۸/۰۶	۲/۱۶۶
	۴۷	۱۵/۲	۵/۷۷	۰/۸۴۱	۲/۴۴	۲۸/۸	۲۶/۳۶	۰/۵۱۷
	۲۹	۱۷/۶۶	۱۱/۲۷	۲/۰۹	۶/۰۸	۶۳/۷۱	۵۷/۶۳	۲/۶۲
کل	۱۰۸	۱۵/۷۵	۸/۶۹	۰/۸۳۷	۲/۴۴	۶۳/۷۱	۶۱/۲۸	۲/۴۳۱

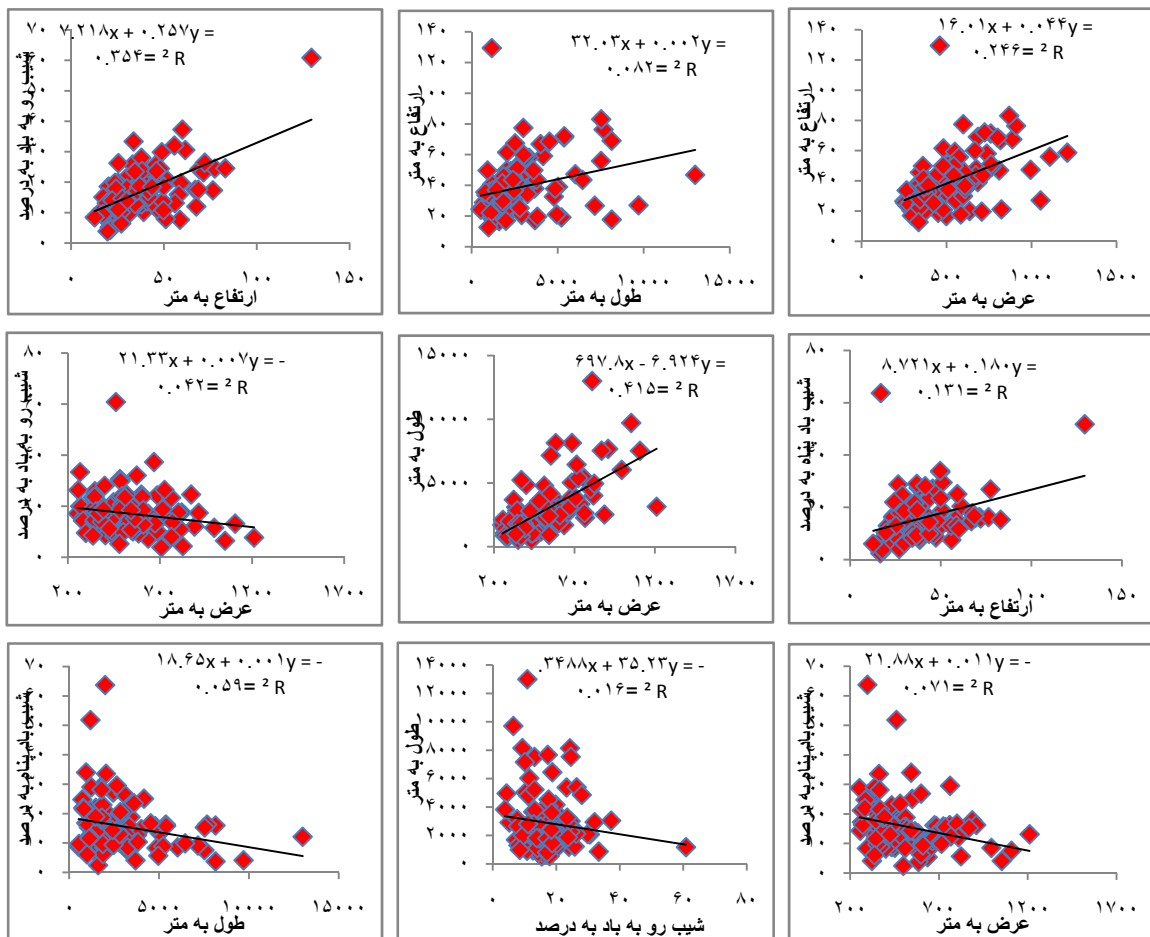
روش مدل‌سازی آماری به کمک نرم‌افزار SPSS و با استفاده از تکنیک‌های آنالیز رگرسیون، تحلیل واریانس و آزمون-های تعییبی انجام گرفت. برای این منظور ابتدا روش‌های رگرسیون تک متغیره و چندگانه آزموده شد. در روش رگرسیون تک متغیره روابط گوناگون خطی، درجه ۲ و درجه ۳ بین مؤلفه‌های گوناگون آزمون و از بین آنها روابطی بالرتبه رجحانی بالاتر انتخاب و گزارش گردید. سپس روش‌های رگرسیون چندگانه جهت کشف روابط و مدل‌های مناسب بین مؤلفه‌ها به کار گرفته شد و با استفاده از پارامترهای سنجش مدل، مناسب‌ترین مدل‌ها شناسایی و درنهایت با مقایسه میزان اعتبار آنها، صحت مدل‌های مناسب بر اساس ارزش رجحانی تعیین گردید. علت استفاده از آنالیز رگرسیون تک متغیره و چندگانه و ارائه نتایج آن در این پژوهش، دستیابی به نتایج قابل قبول با درجه مطلوب اعتبار سنجی است.

برای ارزیابی مقایسه‌ای و گروه‌بندی کلوت‌ها از تحلیل واریانس یک طرفه با آزمون‌های تعقیبی استفاده شده است. این روش بر اساس حداقل پراش درون‌گروهی و حداقل پراش بین‌گروهی بنانهاده شده، درنتیجه همگنی و عدم تجانس گروه‌های حاصله را به خوبی نمایان می‌سازد. تحلیل واریانس به پژوهشگر این امکان را می‌دهد که دریابد آیا تفاوت معنی‌داری بین گروه‌ها وجود دارد یا خیر؟، ولی برای بیان تفاوت گروه‌ها از نظر پارامترهای مختلف از آزمون تعقیبی توکی^۱ بهره گرفته شده است، زیرا بهوضوح نمایانگر اختلاف گروه‌های متعدد از منظر پارامترهای موجود می‌باشد.

معیار ارزش رجحانی سنجش، انتخاب روابط و گروه‌بندی آنها بر اساس آماره‌های حداقل ضریب تبیین، ضریب همبستگی، ضریب تبیین تعديل شده، حداقل انحراف معیار خطای برآورد، درجه آزادی، مجموع مربعات و سطح معنی‌داری در سطح احتمال خطای کمتر یا مساوی $\alpha \leq 0.01$ و $\alpha \leq 0.05$ می‌باشد.

یافته‌های پژوهش

نتایج حاصل از تحلیل رگرسیون ساده بین مؤلفه‌های مورفومتری کلوت‌های مطالعاتی به شرح شکل (۴) و جدول (۲) می‌باشد. یافته‌های شکل (۴) حاکی از حداقل ارتباط معنی‌دار طول با عرض با ضریب تبیین 0.415 و ارتفاع با شیب دامنه رو به باد با ضریب تبیین 0.354 می‌باشد. سایر روابط خطی بین پارامترهای کلوت‌های مطالعاتی به صورت شکل (۴) بوده و ضرایب تبیین پایین نشان از رابطه ضعیف بین مؤلفه‌ها می‌باشد.



شکل ۴: نتایج تحلیل رگرسیون ساده خطی بین پارامترهای مورفومتری کلوت‌های مطالعاتی

¹. Tukey

نتایج جدول (۳) حاکی از وجود ارتباط معنی‌دار در سطح احتمال خطای کمتر از 0.01 ، بین مؤلفه‌های ارتفاع و شیب دامنه روبه‌باد برای روابط درجه ۲ و درجه ۳ است که به ترتیب ضریب تبیین این مدل‌ها 0.386 و 0.395 و خطای برآورد $13/819$ و $13/789$ می‌باشد. روابط عرض با شیب دامنه‌های روبه‌باد و بادپناه و همچنین رابطه طول با شیب بادپناه در سطح احتمال خطای کمتر از 0.05 معنی‌دار بوده، با این حال ضرایب تبیین با مقادیر پایین ارتباطات ضعیف بین این مؤلفه‌ها را نشان می‌دهد. سطح معنی‌داری مدل‌های درجه ۲ و درجه ۳ طول و شیب روبه‌باد نیز عدم وجود ارتباط بین آنها را بیان می‌دارد.

جدول ۲: نتایج آنالیز رگرسیون ساده روابط درجه ۲ و ۳ بین پارامترهای مورفومتری کلوت‌های مطالعاتی

ضرایب مدل				معنی داری	مقدار F	خطای برآورد	ضریب ب	ضریب همبستگی	نوع مدل	پارامتر
b^3	b^2	b^1	b^0							
....	$-5/053E-5$	$0/108$	$-1/383$	$0/000$	$19/349$	$15/078$	$0/269$	$0/519$	درجه ۲	ارتفاع و عرض
$-6/175E-8$	$7/554E-5$	$0/03$	$13/004$	$0/000$	$12/929$	$15/126$	$0/272$	$0/521$	درجه ۳	
....	$-4/282E-7$	$0/007$	$25/096$	$0/001$	$6/974$	$16/572$	$0/117$	$0/342$	درجه ۲	ارتفاع و طول
$2/549E-11$	$-8/871E-7$	$0/009$	$22/759$	$0/004$	$4/681$	$16/636$	$0/119$	$0/345$	درجه ۳	
....	$0/021$	$0/342$	$25/676$	$0/000$	$33/031$	$13/819$	$0/386$	$0/621$	درجه ۲	ارتفاع و شیب روبه‌باد
$+0/001$	$-0/049$	$1/994$	$15/093$	$0/000$	$22/609$	$13/789$	$0/395$	$0/628$	درجه ۳	
....	$-0/019$	$1/73$	$17/87$	$0/000$	$10/809$	$16/063$	$0/171$	$0/413$	درجه ۲	ارتفاع و شیب بادپناه
$+0/000$	$0/028$	$0/666$	$24/186$	$0/000$	$7/441$	$16/081$	$0/177$	$0/420$	درجه ۳	
....	$-5/092E-6$	$0/111$	$261/497$	$0/000$	$43/761$	$145/751$	$0/355$	$0/674$	درجه ۲	عرض و طول
$-3/478E-11$	$-4/465E-6$	108	$264/687$	$0/000$	$28/899$	$146/346$	$0/355$	$0/674$	درجه ۳	
....	$0/249$	$-17/658$	$733/339$	$0/014$	$4/473$	$189/453$	$0/079$	$0/280$	درجه ۲	عرض و شیب روبه‌باد
$-0/018$	$1/875$	$-55/964$	$978/747$	$0/005$	$4/516$	$186/529$	$0/115$	$0/339$	درجه ۳	
....	$0/104$	$-11/462$	$663/649$	$0/012$	$4/608$	$189/229$	$0/081$	$0/284$	درجه ۲	عرض و شیب بادپناه
$+0/000$	$0/181$	$-13/208$	$674/016$	$0/032$	$3/048$	$190/123$	$0/081$	$0/284$	درجه ۳	
....	$0/669$	$-68/486$	$3825/198$	$0/378$	$0/983$	$2100/27$	$0/018$	$0/136$	درجه ۲	طول و شیب روبه‌باد
$-0/169$	$15/895$	$-427/101$	$6122/646$	$0/175$	$1/682$	$2080/13$	$0/046$	$0/215$	درجه ۳	
....	$1/529$	$-138/801$	$4573/11$	$0/015$	$4/365$	$2036/85$	$0/077$	$0/277$	درجه ۲	طول و شیب بادپناه
$-0/013$	$2/681$	$-164/976$	$4728/473$	$0/039$	$2/892$	$2046/35$	$0/077$	$0/277$	درجه ۳	

رگرسیون چندگانه اطلاعاتی درباره مدل به عنوان یک کل فراهم می‌آورد و سهم نسبی هر یک از متغیرهای مدل را نشان می‌دهد. همچنین از تحلیل رگرسیون چندگانه می‌توان برای کنترل آماری متغیرهای مستقل هنگام بررسی توانایی مدل پیش‌بین بهره گرفت. نتایج تحلیل رگرسیون خطی چندگانه بین مؤلفه‌های مورفومتری کلوت‌های مطالعاتی مدل-های متعددی را مرهون می‌سازد که در جدول (۳) مناسب‌ترین مدل‌ها و ارتباطات موجود برای هر مؤلفه گزارش شده است. بطوریکه ارتباطات حاصل از مدل‌سازی روابط مؤلفه‌های مورفومتری کلوت نشان از حداکثر ارتباط معنی‌دار ارتفاع با سایر پارامترها با ضریب تبیین 0.862 و خطای برآورد $6/606$ می‌باشد. در مقابل حداقل ارتباط معنی‌دار متعلق به طول با

ضریب تبیین $0.423/0.0$ و خطای برآورد $1626/38$ می‌باشد. در بین مدل‌های موجود مؤلفه طول عدم ارتباط معنی‌دار در سطح احتمال خطای کمتر از $0.05/0$ را با سایر مؤلفه‌ها نشان می‌دهد، بدین معنی که در مدل‌های مزبور جهت افزایش پایایی و کاهش میزان خطای برآورد بهتر است پارامتر طول از مدل‌ها خارج شده و با حذف آن، مدل از درجه اعتبار سنگی بالاتری برخوردار می‌گردد.

جدول ۳: خلاصه مدل‌های آنالیز رگرسیون خطی چندگانه مؤلفه‌های مورفومتری کلوت‌های مطالعاتی

معنی‌داری	مقدار t	خطای برآورد	ضرایب غیراستاندارد	متغیر مستقل	خطای برآورد	ضرایب تعدیلی	ضرایب تبیین	ضرایب همبستگی	ضرایب متغیر وابسته
$0/000$	$15/009$	$0/004$	$0/065$	عرض	$6/606$	$0/857$	$0/862$	$0/929$	ارتفاع
$0/722$	$-0/356$	$0/000$	$0/000$	طول					
$0/000$	$16/24$	$0/09$	$1/459$	شیب رویه‌باد					
$0/000$	$8/966$	$0/08$	$0/715$	شیب بادپناه					
$0/000$	$-10/819$	$2/852$	$-30/858$	مقدار ثابت					
$0/000$	$15/009$	$0/699$	$10/498$	ارتفاع	$83/711$	$0/817$	$0/824$	$0/907$	عرض
$0/000$	$4/115$	$0/005$	$0/019$	طول					
$0/000$	$-11/16$	$1/445$	$-16/131$	شیب رویه‌باد					
$0/000$	$-7/478$	$1/085$	$-8/114$	شیب بادپناه					
$0/000$	$16/725$	$27/406$	$458/365$	مقدار ثابت					
$0/722$	$-0/356$	$24/244$	$-8/643$	ارتفاع	$1626/38$	$0/400$	$0/423$	$0/650$	طول
$0/000$	$4/115$	$1/774$	$7/3$	عرض					
$0/623$	$0/493$	$41/69$	$20/561$	شیب رویه‌باد					
$0/584$	$-0/549$	$26/148$	$-14/358$	شیب بادپناه					
$0/506$	$-0/668$	$1024/16$	$-683/856$	مقدار ثابت					
$0/000$	$16/24$	$0/03$	$0/493$	ارتفاع	$3/839$	$0/742$	$0/752$	$0/867$	شیب رو- بدباد
$0/000$	$-11/16$	$0/003$	$-0/034$	عرض					
$0/623$	$0/493$	$0/000$	$0/000$	طول					
$0/000$	$-5/134$	$0/055$	$-0/283$	شیب بادپناه					
$0/000$	$13/625$	$1/447$	$19/721$	مقدار ثابت					
$0/000$	$8/966$	$0/068$	$0/613$	ارتفاع	$6/1197$	$0/505$	$0/523$	$0/723$	شیب باد- پناه
$0/000$	$0/478$	$0/006$	$-0/043$	عرض					
$0/584$	$-0/549$	$0/000$	$0/000$	طول					
$0/000$	$-5/134$	$0/140$	$0/719$	شیب رویه‌باد					
$0/000$	$9/833$	$2/774$	$27/274$	مقدار ثابت					

نتایج حاصل از تحلیل واریانس یک‌طرفه با آزمون‌های تعقیبی جهت بیان معنی‌داری تفاوت بین کلوت‌های ترانسکت‌های مزبور و گروه‌بندی آنها به صورت جداول (۶) تا (۷) است. نتایج آزمون‌های لون^۱، ولچ^۲ و برون-فورسیت^۳ که تجانس و عدم تجانس بین واریانس پارامترهای هر ترانسکت را بیان می‌دارد، نشان از ناهمگنی ترانسکت‌ها در سطح احتمال خطای کمتر از 0.05 ، از نظر مؤلفه‌های ارتفاع، طول و عرض و همگنی آنها از حیث مؤلفه شیب در آزمون لون می‌باشد، اما نتایج

¹. Levene². Welch³. Brown-Forsythe

آزمون‌های ولج و برون- فورسیت در سطح احتمال خطای کمتر از ۰/۰۵، تجانس ترانسکت‌های مذبور را علاوه بر پارامترهای شیب در ارتفاع نیز و عدم تجانس‌شان را با مؤلفه‌های عرض و طول بیان می‌دارد (جدول ۴).

جدول ۴: نتایج آزمون همگنی واریانس پارامترهای مورفومتری کلوت‌های مطالعاتی

نوع آزمون	پارامتر	آماره آزمون	درجه آزادی ۱	درجه آزادی ۲	معنی داری
لون	ارتفاع	۵/۸۶۴	۲	۱۰۵	۰/۰۰۴
	عرض	۱۶/۴۲۷	۲	۱۰۵	۰/۰۰۰
	طول	۱۲/۴۵۵	۲	۱۰۵	۰/۰۰۰
	شیب روبه‌باد	۲/۰۳۴	۲	۱۰۵	۰/۱۳۶
	شیب بادپناه	۲/۳۲۶	۲	۱۰۵	۰/۱۰۳
ولج	ارتفاع	۲/۶۳۶	۲	۶۲/۵۲۷	۰/۰۸۰
	عرض	۵/۴۸۰	۲	۵۸/۶۰۴	۰/۰۰۷
	طول	۶/۹۷۹	۲	۶۰/۲۲۶	۰/۰۰۲
	شیب روبه‌باد	۰/۲۳۲	۲	۵۵/۸۹۴	۰/۷۹۳
	شیب بادپناه	۰/۶۶۲	۲	۵۱/۵۰۹	۰/۵۲۰
برون-	ارتفاع	۲/۵۷۸	۲	۶۴/۷۶۷	۰/۰۸۴
	عرض	۷/۹۴۶	۲	۶۱/۵۸۳	۰/۰۰۱
	طول	۹/۸۴۸	۲	۵۷/۳۶۸	۰/۰۰۰
	شیب روبه‌باد	۰/۲۵۱	۲	۶۸/۴۱۶	۰/۷۷۹
	شیب بادپناه	۰/۸۳۸	۲	۶۹/۰۱	۰/۴۳۷

جدول (۵) بیانگر پراش و تغییرپذیری واریانس درون‌گروهی و بین‌گروهی در کلوت‌های مطالعاتی می‌باشد. نتایج این جدول بیان می‌دارد که در سطح احتمال خطای کمتر از ۰/۰۱، میزان پراش بین‌گروهی ترانسکت‌های مطالعاتی از نظر مؤلفه‌های ارتفاع، عرض و طول به ترتیب با معنی داری ۰/۰۰۷، ۰/۰۰۰ و ۰/۰۰۷ و محدود اتابی ۰/۰۴۸، ۰/۱۴۱ و ۰/۱۶۷ حداکثر بوده و پراش بین‌گروهی آنها حداقل می‌باشد، بطوریکه این فرایند در مؤلفه‌های شیب دامنه روبه‌باد و شیب دامنه بادپناه به ترتیب با معنی داری ۰/۷۵۹ و ۰/۳۸۰ حالت معکوس داشته و حتی در سطح احتمال خطای ۰/۰۵ هم معنی دار نیست.

جدول ۵: نتایج حاصل از تحلیل واریانس درون‌گروهی و بین‌گروهی پارامترهای مورفومتری کلوت‌ها

پارامتر	نوع واریانس	مجموع مربعات	درجه آزادی	مربع میانگین	مقدار F	معنی داری	مجذور اتابی
ارتفاع	بین‌گروهی	۱۵۶۵/۹۷	۲	۷۸۲/۹۸	۲/۶۴	۰/۰۰۷	۰/۰۴۸
	درون‌گروهی	۳۱۱۰۲/۲۸	۱۰۵	۲۹۶/۲۱
عرض	بین‌گروهی	۵۷۶۰۱۵/۵۷	۲	۲۸۸۰۰۷/۷۸	۸/۶۱	۰/۰۰۰	۰/۱۴۱
	درون‌گروهی	۳۵۱۳۷۸۹/۶۸	۱۰۵	۳۳۴۶۴/۶۶
طول	بین‌گروهی	۷/۹۰۰E۷	۲	۳/۹۵۰E۷	۱۰/۵۵۷	۰/۰۰۰	۰/۱۶۷
	درون‌گروهی	۳/۹۲۸E۸	۱۰۵	۳۷۴۱۳۵۹۹/۶۳۲
شیب روبه-باد	بین‌گروهی	۳۲/۰۳۳	۲	۱۶/۰۱۶	۰/۲۷۷	۰/۷۵۹	۰/۰۰۵
	درون‌گروهی	۶۰۸۰/۶۲۱	۱۰۵	۵۷/۹۱۱
شیب باد-پناه	بین‌گروهی	۱۴۷/۸۴۳	۲	۷۳/۹۲۲	۰/۹۷۸	۰/۳۸۰	۰/۰۱۸
	درون‌گروهی	۷۹۴۰/۱۹۱	۱۰۵	۷۵/۶۲۱

جدول (۶) دربردارنده نتایج حاصل از آزمون تعقیبی توکی بوده و بیان می‌دارد که دقیقاً بین کدام جفت از ترانسکت‌ها اختلاف معنی‌دار وجود دارد. با توجه به نتایج این جدول می‌توان گفت که بین ترانسکت‌های ۱، ۲ و ۳ از نظر مؤلفه عرض به ترتیب با اختلاف میانگین $148/569$ و $174/088$ و همچنین بین ترانسکت‌های ۱، ۲ و ۳ از نظر مؤلفه طول به ترتیب با اختلاف میانگین $170/1055$ و $2073/622$ در سطح احتمال خطای کمتر از $0/01$ تفاوت معنی‌دار وجود دارد. به عبارت دیگر بین ترانسکت‌های مطالعاتی از نظر پارامترهای طول و عرض اختلاف وجود دارد و می‌توان آنها را به گروه‌های متمایز تقسیم نمود، در حالی که دیگر پارامترها چنین تمایز معنی‌داری را نشان نمی‌دهند.

جدول ۶: نتایج حاصل از معنی‌داری تفاوت بین ترانسکت‌های مطالعاتی (آزمون تعقیبی توکی)

معنی‌داری	خطای استاندارد	اختلاف میانگین	ترانسکت	پارامتر
۰/۲۹۱	۳/۹۴۴	۵/۹۵۳	۲ شماره	ارتفاع
۰/۰۶۴	۴/۴۱۲	۱۰/۰۲۴	۳ شماره	
۰/۲۹۱	۳/۹۴۴	-۵/۹۵۳	۱ شماره	
۰/۵۷۷	۴/۰۶۴	۴/۰۷۱	۳ شماره	
۰/۰۶۴	۴/۴۱۲	-۱۰/۰۲۴	۱ شماره	
۰/۵۷۷	۴/۰۶۴	-۴/۰۷۱	۲ شماره	
۰/۰۰۲	۴۱/۹۲۶	۱۴۸/۵۶۹*	۲ شماره	عرض
۰/۰۰۱	۴۶/۹۰۱	۱۷۴/۰۸۸*	۳ شماره	
۰/۰۰۲	۴۱/۹۲۶	-۱۴۸/۵۶۹*	۱ شماره	
۰/۸۲۵	۴۳/۱۹۷	۲۵/۵۱۸	۳ شماره	
۰/۰۰۱	۴۶/۹۰۱	-۱۷۴/۰۸۸*	۱ شماره	
۰/۸۲۵	۴۳/۱۹۷	-۲۵/۵۱۸	۲ شماره	
۰/۰۰۱	۴۴۳/۳	۱۷۰/۱۰۵۵*	۲ شماره	طول
۰/۰۰۰	۴۹۵/۹۱	۲۰۷۳/۶۲۲*	۳ شماره	
۰/۰۰۱	۴۴۳/۳	-۱۷۰/۱۰۵۵*	۱ شماره	
۰/۶۹۴	۴۵۶/۷۴	۳۷۲/۵۶۷	۳ شماره	
۰/۰۰۰	۴۹۵/۹۱	-۲۰۷۳/۶۲۲*	۱ شماره	
۰/۶۹۴	۴۵۶/۷۴	-۳۷۲/۵۶۷	۲ شماره	
۰/۷۳۸	۱/۷۴۴	-۱/۲۹۷	۲ شماره	شیب رویه‌باد
۰/۹۲۴	۱/۹۵۱	-۰/۷۳۷	۳ شماره	
۰/۷۳۸	۱/۷۴۴	۱/۲۹۷	۱ شماره	
۰/۹۴۸	۱/۷۹۷	۰/۵۵۹	۳ شماره	
۰/۹۲۴	۱/۹۵۱	۰/۷۳۷	۱ شماره	
۰/۹۴۸	۱/۷۹۷	-۰/۵۵۹	۲ شماره	
۰/۹۸۰	۱/۹۹۳	-۰/۳۸۳	۲ شماره	شیب بادپناه
۰/۴۱۲	۲۲۹.۲	-۲/۸۴۳	۳ شماره	
۰/۹۸۰	۱/۹۹۳	۰/۳۸۳	۱ شماره	
۰/۴۵۷	۲/۰۵۳	-۲/۴۵۹	۳ شماره	
۰/۴۱۲	۲/۲۲۹	۲/۸۴۳	۱ شماره	
۰/۴۵۷	۲/۰۵۳	۲/۴۵۹	۲ شماره	

نتایج جدول (۷) نشان می‌دهد که ترانسکت‌های مطالعاتی را می‌توان از نظر ارتفاع به دو زیرگروه تقسیم نمود، بطوریکه زیرگروه اول، ترانسکت‌های ۳ و ۲ و زیرگروه دوم، ترانسکت‌های ۲ و ۱ را در بر می‌گیرد. در این زیرگروه‌ها ترانسکت

به صورت مشترک وجود دارد، این بدین معنی است که ترانسکت ۲ از نظر ارتفاع پراش بین گروهی نزدیکی با ترانسکت‌های ۱ و ۳ دارد، اما ترانسکت‌های ۱ و ۳ پراش بین گروهی بالایی را نسبت به یکدیگر نشان می‌دهند. این عوامل سبب تمایز ترانسکت‌های مذبور به دو زیرگروه متعدد با اشتراک ترانسکت ۲ در آنها می‌باشد. از نظر مؤلفه‌های شبیه ترانسکت‌های مطالعاتی به دلیل حداقل پراش بین گروهی و حداکثر پراش درون گروهی، فقط یک زیرگروه در آنها قابل تمایز است. سایر موارد نیز به شرح جدول (۷) می‌باشد.

جدول ۷: نتایج حاصل از همگنی زیرگروه‌های ترانسکت‌ها

معنی‌داری	آماره	ترانسکت	زیرگروه	پارامتر
۰/۵۹۰	۳۴/۱۸۴	شماره ۳	۱	ارتفاع
	۳۸/۲۵۵	شماره ۲		
۰/۳۲۶	۳۸/۲۵۵	شماره ۲	۲	
	۴۴/۲۰۸	شماره ۱		
۰/۸۳۲	۴۵۴/۱۸۲	شماره ۳	۱	عرض
	۴۷۹/۵۹۹	شماره ۲		
۱/۰۰۰	۶۲۸/۲۶۹	شماره ۱	۲	
۰/۷۰۴	۲/۱۰۴۷E۳	شماره ۳	۱	
	۲/۴۷۷۳E۳	شماره ۲		
۱/۰۰۰	۴/۱۷۸۳E۳	شماره ۱	۲	
۰/۷۶۰	۱۶/۴۷۷	شماره ۱	۱	طول
	۱۷/۲۱۴	شماره ۳		
	۱۷/۷۷۴	شماره ۲		
۰/۳۶۷	۱۴/۸۱۶	شماره ۱	۱	شبیه رویداد
	۱۵/۱۹۹	شماره ۲		
	۱۷/۶۵۹	شماره ۳		
				شبیه بادپناه

نتیجه‌گیری

ژئومورفولوژی سیستمی، بررسی ساختار و عملکرد چشم‌اندازهای ژئومورفیک را در تحلیل روابط فرم و فرآیند استوار نموده و زمانی که روابط متقابل خطی و غیرخطی بین اجزاء و عناصر یک چشم‌انداز حاکم است از کارایی بالای برخوردار خواهد بود. عارضه کلوت یک ژئوفرم بادی بوده و در تشکیل آن عوامل و فرآیندهای متعددی مؤثر هستند که مهم‌ترین آنها سایش و بادکندگی است. فرآیند سایش و بادکندگی بادهای غالب تک جهته به صورت نیروی محرك سبب ورود انرژی بادی و خروج مواد از سیستم کلوت شده و فرآیندهای نظیر رسوب‌شناسی (سختی، جنس و اندازه ذرات مواد) به صورت نیروی مانع در برابر بادکندگی واکنش نشان داده و مقاومت می‌کند. درنتیجه برآیند این دو نیرو باعث سایش، کندن و جابجایی مواد از نواحی با مقاومت کمتر شده و این فرآیند منجر به تشکیل دالان‌ها و پشت‌هایی به صورت موازی می‌گردد. در طی این پروسه قدرت نیروهای محرك و مقاوم نواحی تحت تسلط باد متفاوت بوده و سبب تشکیل کلوت‌های متعدد با بعد و ژئومورفومتری گوناگون می‌گردد.

در پژوهش حاضر روابط موجود بین مؤلفه‌های ژئومورفومتری کلوت‌های لوت در امتداد سه ترانسکت با استفاده از تحلیل‌های آماری مورد بررسی قرار گرفت. به طور کلی بر اساس روابط حاصل از آنالیز رگرسیون ساده می‌توان کلوت‌های لوت را به چهار گروه طبقه‌بندی نمود:

گروه اول: ارتباطاتی با ضریب تبیین متوسط و سطح معنی‌داری کمتر از ۰/۰۱ :

- الف) رابطه خطی معنی‌دار طول و عرض با ضریب تبیین $0/415$ و ارتفاع با شیب دامنه روبه‌باد با ضریب تبیین $0/354$
- ب) ارتباط بین مؤلفه‌های ارتفاع و شیب دامنه روبه‌باد برای روابط درجه ۲ و درجه ۳ به ترتیب با ضریب تبیین $0/386$ و $0/395$
- ج) روابط درجه ۲ و درجه ۳ عرض با طول به ترتیب با ضریب تبیین $0/355$ و $0/355$
- گروه دوم: ارتباطاتی با ضریب تبیین متوسط تا ضعیف و سطح معنی‌داری کمتر از $0/01$:
- الف) رابطه خطی معنی‌دار عرض و ارتفاع با ضریب تبیین $0/246$ و ارتفاع با شیب دامنه بادپناه با ضریب تبیین $0/131$
- ب) روابط درجه ۲ و درجه ۳ ارتفاع و عرض به ترتیب با ضریب تبیین $0/269$ و $0/272$
- ج) روابط درجه ۲ و درجه ۳ ارتفاع و طول به ترتیب با ضریب تبیین $0/117$ و $0/119$
- د) روابط درجه ۲ و درجه ۳ ارتفاع و شیب دامنه بادپناه به ترتیب با ضریب تبیین $0/171$ و $0/177$
- گروه سوم: ارتباطاتی با ضریب تبیین ضعیف و سطح معنی‌داری کمتر از $0/05$:
- الف) روابط درجه ۲ و درجه ۳ عرض و شیب دامنه روبه‌باد به ترتیب با ضریب تبیین $0/079$ و $0/115$
- ب) روابط درجه ۲ و درجه ۳ عرض و شیب دامنه بادپناه به ترتیب با ضریب تبیین $0/081$ و $0/081$
- ج) روابط درجه ۲ و درجه ۳ طول و شیب دامنه بادپناه به ترتیب با ضریب تبیین $0/077$ و $0/077$
- گروه چهارم: روابطی با ضریب تبیین بسیار ضعیف و عدم وجود ارتباط معنی‌دار بین مؤلفه‌ها که سایر مدل‌های موجود در شکل (۴) و جدول (۲) را شامل می‌شود.

نتایج تحلیل رگرسیون چندگانه حاکی از حداقل ارتباط معنی‌دار ارتفاع با سایر پارامترها با ضریب تبیین $0/862$ می‌باشد. حداقل ارتباط معنی‌دار نیز برای مدل سازی طول با ضریب تبیین $0/423$ وجود دارد. در بین مدل‌های موجود مؤلفه طول عدم ارتباط معنی‌دار در سطح احتمال خطای کمتر از $0/05$ با سایر مؤلفه‌ها به جز عرض را نشان می‌دهد. به عبارت دیگر مؤلفه ارتفاع توجیه‌کننده پارامترهای عرض، شیب دامنه روبه‌باد و شیب دامنه بادپناه بوده، اما مؤلفه طول به جز عرض توجیه‌کننده سایر مؤلفه‌ها نمی‌باشد. این ارتباطات متقابل بوده و دیگر پارامترها نیز چنین وضعیتی را نسبت به یکدیگر دارند.

نتایج حاصل از تحلیل واریانس یک طرفه نشان می‌دهد که از نظر آماری تفاوت معنی‌داری در سطح احتمال خطای کمتر از $0/05$ در مؤلفه ارتفاع برای سه ترانسکت مطالعاتی وجود دارد ($F = 2/64$ و $Sig = 0/007$). علیرغم معنی‌داری تفاوت آماری ترانسکت‌ها، تفاوت واقعی در مقادیر ارتفاع بین ترانسکت‌ها متوسط می‌باشد ($0/048$ = مجذور اتا). مقایسه تعقیبی با استفاده از آزمون توکی بیانگر آن است که میانگین مقادیر ارتفاع برای ترانسکت ۱ ($M = 44/21$ و $SD = 4/203$) تفاوت معنی‌داری با ترانسکت ۲ ($M = 2/201$ و $SD = 2/25$) و ترانسکت ۳ ($M = 34/18$ و $SD = 38/25$) دارد. سایر موارد نیز به شرح جداول (۴) تا (۶) می‌باشد. همچنین نتایج حاصل از همگنی زیرگروه‌های ترانسکت‌های مطالعاتی حاکی از طبقه-بندی آنها به زیرگروه‌های متعدد بوده که به شرح جدول (۷) است.

با توجه به روابط موجود بین پارامترها و شکل آثرودینامیک کلوت می‌توان نتیجه گرفت که بادهای غالب تک جهته و کانالیزه شدن جریان باد درون کریدورها به عنوان فاکتورهای مولد؛ و قشر گلی روی پسته‌ها، سختی مواد و پوشش گیاهی به صورت فاکتورهای بازدارنده باعث تشکیل کلوت و دلان‌های موازی یکدیگر می‌شود. توجیه‌کننده مرتفع‌ترین نقطه کلوت در ابتدای دامنه روبه‌باد، انحرافات جریان به جهت عرض پهن می‌باشد که این عامل خود مبین حداقل شیب در دامنه روبه‌باد شده است. پهنانی عریض‌تر کلوت در قسمت ابتدای پشته به دلیل وجود دامنه روبه‌باد به صورت مانع در برابر جریان باد، واگرایی جریان در اثر برخورد با دامنه و هدایت آن به درون کریدورها می‌باشد. همچنین توجیه‌کننده کشیدگی، باریک شدن، حداقل ارتفاع و شیب کمتر دامنه بادپناه در انتهای کلوت به جهت همگرایی جریان باد و تقویت فشار برپشی آن در قسمت‌های پایانی و تسلط جریان بر پشته است. از ارتباط ضعیف یا عدم ارتباط طول با سایر مؤلفه‌ها

می‌توان نتیجه گرفت که عواملی نظیر واگرایی جریان باد در ابتدا و همگرایی آن در انتهای کلوت و مقاومت سنگ‌بستر می‌تواند توجیه‌کننده طول کلوت نیز باشد.

منابع

- احسانی، امیرهوشنگ، ۱۳۸۹، ژئومورفولوژی مگایاردانگ‌های لوت، پژوهش‌های جغرافیایی طبیعی، شماره ۷۴، صص ۶۳ - ۷۸.
- احمدی، حسن، ۱۳۸۷، ژئومورفولوژی کاربردی (بیابان - فرسایش بادی)، جلد دوم، چاپ سوم، انتشارات دانشگاه تهران، تهران.
- عالیبی طالقانی، محمود، ۱۳۸۶، ژئومورفولوژی ایران، چاپ چهارم، انتشارات قومس، تهران.
- علوی پناه، سید کاظم، ۱۳۸۱، مطالعه پدیده‌های سطحی حاشیه یارданگ‌های بیابان لوت با استفاده از مطالعات میدانی و داده‌های حرارتی ماهواره‌ای، بیابان، جلد ۲، شماره ۲، صص ۶۷ - ۷۹.
- علوی پناه، سید کاظم؛ احمدی، حسن؛ کمکی، چقی بایرام، ۱۳۸۳، مطالعه رخساره‌های ژئومورفولوژی منطقه یاردانگی بیابان لوت بر اساس تفسیر واحدهای فتومورفیک تصاویر ماهواره‌ای (TM)، مجله منابع طبیعی ایران، جلد ۵۷، شماره ۱، صص ۲۱ - ۳۴.
- کلینسلی، دانیل، ۱۳۸۸، کویرهای ایران و خصوصیات ژئومورفولوژیکی و پالئوكلیماتولوژی آن، مترجم: عباس پاشایی، چاپ دوم، انتشارات سازمان جغرافیایی نیروهای مسلح، تهران.
- محمودی، فرج ا...، ۱۳۶۷، تحول ناهمواری‌های ایران در کواترنر، پژوهش‌های جغرافیایی، شماره ۲۳، صص ۵ - ۴۳.
- مشهدی، ناصر؛ علوی پناه، سید کاظم؛ احمدی، حسن، ۱۳۸۱، مطالعه ژئومورفولوژی یاردانگ‌های لوت، بیابان، جلد ۷، شماره ۲، صص ۴۳ - ۴۵.

- Al-Dousari, A. M., Al-Elaj, M., Al-Enezi, E., Al-Shareeda, A., 2009, Origin and characteristics of yardangs in the Um Al-Rimam depressions (N Kuwait), *Geomorphology*, No. 104, pp. 93–104.
- Bridges, N.T., Banks, M.E., Beyer, R.A., Chuang, F.C., Noe Dobrea, E.Z., Herkenhoff, K.E., Keszthelyi, L.P., Fishbaugh, K.E., McEwen, A.S., Michaels, T.I., Thomson, B.J., Wray, J.J., 2010, Aeolian bedforms, yardangs, and indurated surfaces in the Tharsis Montes as seen by the HiRISE Camera: Evidence for dust aggregates, *Icarus*, No. 205, pp. 165–182.
- Bridges, N.T., Geissler, P.E., McEwen, A.S., Thomson, B.J., Chuang, F.C., Herkenhoff, K.E., Keszthelyi, L.P., Martinez-Alonso, S., 2007, Windy Mars: A dynamic planet as seen by the HiRISE camera. *Geophys. Res. Lett.*, No. 34, L23205. doi:10.1029/2007GL0231445.
- Brookes, I., 2001, Aeolian erosional lineations in the Libyan Desert, Dakhla Region, Egypt. *Geomorphology*, No. 39, pp. 189–209.
- Ehsani, A. H., Quiel, F., 2008, Application of Self Organizing Map and SRTM data to characterize yardangs in the Lut desert, Iran, *Remote Sensing of Environment*, No. 112, pp. 3284–3294.
- Goudie, A., 2007, Mega-Yardangs: A Global Analysis, *Geography Compass*, No. 1/1, pp. 65–81.
- Goudie, A., Stokes, S., Cook, J., Samieh, S., El-Rashidi, O.A., 1999, Yardang landforms from Kharga Oasis, south-western Egypt. *Z. Geomorphol., Suppl.-Bd.*, No. 116, pp. 97–112.
- Goudie, A.S., 1999, Wind erosional landforms: yardangs and pans. In: Goudie, A.S., Livingstone, I., Stokes, S. (Eds.), *Aeolian Environments, Sediments and Landforms*. Wiley, Chichester, pp. 167–180.
- Greeley, R., Iversen, J.D., 1985, *Wind as a Geological Process*. Cambridge University Press, Cambridge.
- Gutiérrez-Elorza, M., Desir, G., Gutiérrez-Santolalla, F., 2002, Yardangs in the semiarid central sector of the Ebro Depression (NE Spain). *Geomorphology*, No. 44, pp. 155–170.
- Halimov, M., Fezer, F., 1989, Eight yardang types in Central Asia. *Z. Geomorphol.*, No. 33, pp. 205–217.
- Hobbs, W.H., 1917, The erosional and degradational processes of deserts, with especial reference to the origin of desert depressions. *Ann. Assoc. Am. Geogr.*, No. 7, pp. 25–60.
- Laity, J.E., 1994, Landforms of aeolian erosion. In: Abrahams, A.D., Parsons, A.J. (Eds.), *Geomorphology of Desert Environments*. Chapman & Hall, London, pp. 506–537.
- Malin, M.C., and 17 colleagues, 1998, Early views of the martian surface from the Mars Orbiter Camera of Mars Global Surveyor. *Science*, No. 279, pp. 1681–1685.
- McCauley, J.F., Breed, C.S., Grolier, M.J., 1977, Yardangs. In: Doebring, D.O. (Ed.), *Geomorphology in Arid Regions*. Allen & Unwin, Boston, pp. 33–269.

- Ward, A.W., 1979, *Yardangs on Mars: Evidence of recent wind erosion.* *J. Geophys. Res.*, No. 84, pp. 8147–8166.
- Ward, A.W., Greeley, R., 1984, *Evolution of the yardangs at Rogers Lake, California.* *Geol. Soc. Am. Bull.*, No. 95, pp. 829–837.
- Whitney, M.I., 1983, *Eolian features shaped by aerodynamic and vorticity processes.* In: Brookfield, M.E., Ahlbrandt, T.S. (Eds.), *Eolian Sediments and Processes*. Elsevier, Amsterdam, pp. 23–245.
- Zimbelman, J. R., Griffin L. J., 2010, *HiRISE images of yardangs and sinuous ridges in the lower member of the Medusae Fossae Formation, Mars,* *Icarus*, No. 205, pp. 198–210.